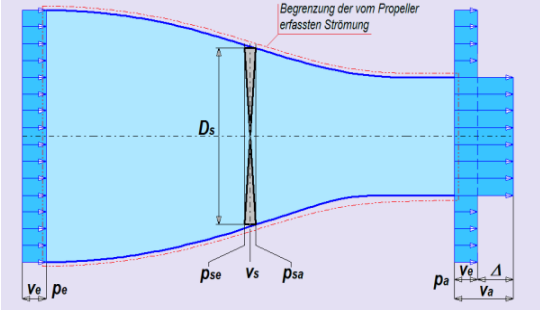
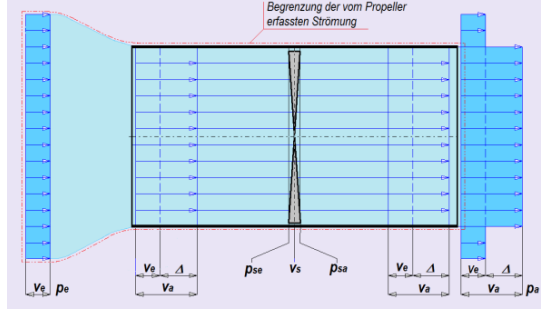


## Vergleich von freiem und ummanteltem Propeller (Schubanteilziffer)

Comparison of free running propeller and covered propeller

00	<b>Strahl im freien Propeller</b>	<b>Strahl im ummantelten Propeller (Rohr)</b>	
01			
02	<p>Annahmen:</p> <ul style="list-style-type: none"> <li>- In der Propellerebene wird Energie zugeführt</li> <li>- Durch diese Energiezufuhr wird ständig Flüssigkeit angesaugt und in einem den Propeller umhüllenden, freien Strahl beschleunigt</li> <li>- Der Propeller ist idealisiert durch eine Scheibe (Flügelzahl <math>\Rightarrow \infty</math>)</li> <li>- Vernachlässigung der Drehung des Propellers</li> <li>- Es wird nur die schuberzeugende, axiale Komponente der Strömung betrachtet</li> <li>- Keine Rückwirkungen des Fahrzeuges</li> <li>- <u>Reibungsfreie</u>, inkompressible Strömung</li> <li>- Kontinuitätsgesetz und Impulssatz gelten</li> <li>- Der Volumenstrom des erzeugten Strahls ist konstant</li> </ul>	<p>Annahmen:</p> <ul style="list-style-type: none"> <li>- In der Propellerebene wird Energie zugeführt</li> <li>- Durch diese Energiezufuhr wird ständig Flüssigkeit angesaugt und in einem den Propeller umhüllenden Rohr / Mantel beschleunigt</li> <li>- Der Propeller ist idealisiert durch eine Scheibe (Flügelzahl <math>\Rightarrow \infty</math>)</li> <li>- Vernachlässigung der Drehung des Propellers</li> <li>- Es wird nur die schuberzeugende, axiale Komponente der Strömung betrachtet</li> <li>- Keine Rückwirkungen des Fahrzeuges</li> <li>- <u>Reibungsfreie</u>, inkompressible Strömung</li> <li>- Kontinuitätsgesetz und Impulssatz gelten</li> <li>- Der Volumenstrom des erzeugten Strahls ist konstant</li> <li>- Der Spalt zwischen Rohr (Mantel) und Propeller ist vernachlässigbar</li> </ul>	
03	Formelzeichen		
04	$A_e$ [m <sup>2</sup> ]	Strahlfläche weit vor dem Propeller (Eintritt)	
05	$A_s$ [m <sup>2</sup> ]	Strahlfläche in der Propellerebene	$A_s$ [m <sup>2</sup> ]
06	$A_a$ [m <sup>2</sup> ]	Strahlfläche weit hinter dem Propeller (Austritt)	Rohrquerschnittsfläche, Strahlfläche in der Propellerebene
07	Vergleich	$A_e \geq A_s \geq A_a$	$A_s = A_a$
08	$D_s$ [m]	Strahldurchmesser in der Propellerebene	$D_s$ [m]
09	$T$ [N = $\frac{kg \cdot m}{s^2}$ ]	Schubkraft des freien Propellers	$T_\Sigma$ [N = $\frac{kg \cdot m}{s^2}$ ]
10	$\dot{V}$ [m <sup>3</sup> /s]	Volumenstrom in Strahl	$\dot{V}_\Sigma$ [m <sup>3</sup> ]
11	$v_e$ [m/s]	Strahlgeschwindigkeit weit vor dem Propeller	$v_e$ [m/s]
12	$v_s$ [m/s]	Strahlgeschwindigkeit in der Propellerebene	$v_s$ [m/s]
13	$v_a$ [m/s]	Strahlgeschwindigkeit weit hinter dem Propeller	$v_a$ [m/s]
14	$p_e$ [ $\frac{N}{m^2} = \frac{kg}{m \cdot s^2}$ ]	Druck weit vor dem Propeller	$p_e$ [ $\frac{N}{m^2} = \frac{kg}{m \cdot s^2}$ ]
15	$p_{se}$ [ $\frac{N}{m^2} = \frac{kg}{m \cdot s^2}$ ]	Druck unmittelbar vor dem Propeller	$p_{se}$ [ $\frac{N}{m^2} = \frac{kg}{m \cdot s^2}$ ]
16	$p_{sa}$ [ $\frac{N}{m^2} = \frac{kg}{m \cdot s^2}$ ]	Druck unmittelbar hinter dem Propeller	$p_{sa}$ [ $\frac{N}{m^2} = \frac{kg}{m \cdot s^2}$ ]
17	$p_a$ [ $\frac{N}{m^2} = \frac{kg}{m \cdot s^2}$ ]	Druck weit hinter dem Propeller	$p_a$ [ $\frac{N}{m^2} = \frac{kg}{m \cdot s^2}$ ]
18	vor dem Propeller	$v = v_e$	Vor dem Rohr
19	in der Propellerebene	$v = v_s$	in der Propellerebene im Rohr
20	hinter dem Propeller	$v = v_a$	hinter dem Rohr
21		$A_e \geq A_s \geq A_a$	$A_s = A_a = \pi \cdot \frac{D_s^2}{4}$
22	Schubkraft aus der Impulsänderung	$T = \rho \cdot \dot{V} \cdot v_a - \rho \cdot \dot{V} \cdot v_e$ $T = \rho \cdot \dot{V} \cdot (v_a - v_e) = \dot{m} \cdot (v_a - v_e)$	Schubkraft aus der Impulsänderung
23	Volumenstrom durch die Propellerebene	$\dot{V} = A_s \cdot v_s = \pi \cdot \frac{D_s^2}{4} \cdot v_s$	Volumenstrom durch die Propellerebene
24	Schub	$T = \rho \cdot A_s \cdot v_s \cdot (v_a - v_e)$	Schub
25	Ermittlung von $v_s$		Infolge der Ummantelung (Rohr) ist: $v_s = v_a$
26	Energiegleichung vor dem Propeller (Bernoulli)	$\frac{p_e}{\rho} + \frac{v_e^2}{2} = \frac{p_{se}}{\rho} + \frac{v_s^2}{2}$	Energiegleichung vor dem Propeller (Bernoulli)
26			$\frac{p_e}{\rho} + \frac{v_e^2}{2} = \frac{p_{se}}{\rho} + \frac{v_{s\Sigma}^2}{2}$

## Vergleich von freiem und ummanteltem Propeller (Schubanteilziffer)

Comparison of free running propeller and covered propeller

27	Energiegleichung hinter dem Propeller (Bernoulli) $\frac{p_a}{\rho} + \frac{v_a^2}{2} = \frac{p_{sa}}{\rho} + \frac{v_s^2}{2}$	Energiegleichung hinter dem Propeller (Bernoulli) $\frac{p_a}{\rho} + \frac{v_a^2}{2} = \frac{p_{s\sigma}}{\rho} + \frac{v_{s\sigma}^2}{2}$	
28	Der Druck weit vor und weit hinter dem Propeller ist gleich $p_a = p_e$ Die Geschwindigkeiten sind unterschiedlich $v_e \leq v_s \leq v_a$	Der Druck vor und hinter dem Rohr ist gleich: $p_a = p_e$ Geschwindigkeit des Strahls <u>im</u> Tunnel vor und hinter dem Propeller sowie in der Propellerebene ist $v_{s\sigma} = v_a$	
29	Durch Subtraktion entsteht $\frac{p_a}{\rho} - \frac{p_e}{\rho} + \frac{v_a^2}{2} - \frac{v_e^2}{2} = \frac{p_{sa}}{\rho} - \frac{p_{se}}{\rho} + \frac{v_s^2}{2} - \frac{v_e^2}{2}$	Durch Subtraktion entsteht $\frac{p_a}{\rho} - \frac{p_e}{\rho} + \frac{v_a^2}{2} - \frac{v_e^2}{2} = \frac{p_{sa}}{\rho} - \frac{p_{se}}{\rho} + \frac{v_{s\sigma}^2}{2} - \frac{v_{s\sigma}^2}{2}$	
30	Der Druckunterschied unmittelbar vor und hinter dem Propeller (idealisierte Scheibe) ist dann $\frac{p_{sa}}{\rho} - \frac{p_{se}}{\rho} = \frac{v_a^2}{2} - \frac{v_e^2}{2}$ $\Delta p = p_{sa} - p_{se} = \frac{\rho}{2} \cdot (v_a^2 - v_e^2)$	Die Druckdifferenz unmittelbar vor und hinter dem Propeller (idealisierte Scheibe) ist dann $\frac{p_{sa}}{\rho} - \frac{p_{se}}{\rho} = \frac{v_s^2}{2} - \frac{v_e^2}{2}$ $\Delta p_\Sigma = p_{sa} - p_{se} = \frac{\rho}{2} \cdot (v_a^2 - v_e^2)$	
31	Der Schub ergibt sich zu $T = \Delta p \cdot A_s = \frac{\rho}{2} \cdot (v_a^2 - v_e^2) \cdot A_s$	Der Schub ergibt sich zu $T_\Sigma = \Delta p_\Sigma \cdot A_s = \frac{\rho}{2} \cdot (v_a^2 - v_e^2) \cdot A_s$	
32	Zusammen mit der aus dem Impulssatz ermittelten Gleichung ergibt sich $T = \frac{\rho}{2} \cdot (v_a^2 - v_e^2) \cdot A_s = \rho \cdot A_s \cdot v_s \cdot (v_a - v_e)$		
33	und daraus die Strahlgeschwindigkeit im Propeller (Froude) $v_s = \frac{v_a + v_e}{2}$	Infolge der Ummantelung (Rohr) ist die Strahlgeschwindigkeit $v_s = v_a$	Siehe Bild u. Z. 20, 23
34	Impulssatz $T = \rho \cdot A_s \cdot \frac{v_a + v_e}{2} \cdot (v_a - v_e)$	Impulssatz $T_\Sigma = \rho \cdot A_s \cdot v_s \cdot (v_s - v_e) = \rho \cdot A_s \cdot v_a \cdot (v_a - v_e)$	Siehe Z. 24
35	$v_e = 0:$ $T = A_s \cdot \frac{\rho}{2} \cdot v_a^2$	$v_e = 0:$ $v_s = v_a \rightarrow T_\Sigma = \rho \cdot A_s \cdot v_a^2$	
36	$\frac{\text{freier Propeller}}{\text{ummantelter Propeller}} = \tau = \frac{T}{T_\Sigma} = \frac{A_s \cdot \frac{\rho}{2} \cdot v_a^2}{A_s \cdot \rho \cdot v_a^2} = \frac{1}{2}$	$\leftarrow$ Schubanteilziffer für Querschubanlage im Idealfall	
37	<b>Quelle:</b> Willi Bohl: Technische Strömungslehre, VEB Fachbuchverlag Leipzig u. Vogel-Buchverlag Würzburg, 6. Auflage 1984	./.	

Klaus-Jürgen Bladt  
 Streuwiesenweg 60  
 18119 Rostock  
 Germany